

## بررسی اثر کمبود اکسیژن، گذار فاز ساختاری ارتورومبیک - تتراترونال و ساختار نوار انرژی در $\text{YBa}_2\text{Cu}_3\text{O}_{7-\delta}$

صدیقه دادرس<sup>۱</sup>، مریم حکمت<sup>۱</sup>، محمد رضا صفری<sup>۲</sup>، و وحید دادمهر<sup>۱\*</sup>

۱. آزمایشگاه پژوهشی مغناطیس و ابررسانا، گروه فیزیک، دانشگاه الزهرا(س)، ونک، تهران، کد پستی ۱۹۹۳۸۹۱۱۷۶، ایران

۲. مخابرات اسلامشهر- شرکت مخابرات، تهران، ایران

\* پست الکترونیکی: daadmehr@alzahra.ac.ir

(دریافت مقاله: ۸۵/۳/۶؛ دریافت نسخه نهایی: ۸۵/۸/۲۲)

### چکیده

دستیابی به نمونه‌های ابررسانا با فاز کترل شده و یا اساساً کترل فاز ساختاری در سیستم  $\text{O}-\text{T}-\text{O}$  از اهمیت ویژه‌ای در فرایند ساخت برخوردار است. از آنجایی که کاهش اکسیژن در این ساختار اثرات ویژه‌ای به وجود می‌آورد، خصوصاً گذار فاز ساختاری را سبب می‌شود، با بررسی ساختار و تحلیل حرارتی آن، گذار فاز ساختاری تتراترونال-ارتورومبیک این نمونه مشاهده شد و بینه مقادیر دمای گذار فاز ساختاری  $T = 630 \pm 5^\circ\text{C}$  و اکسیژن گذار  $O = 6/6 - 7/8$  به دست آمد که توافق خوبی با نتایج تجربی دیگران دارد. علاوه بر این با انجام محاسبات ساختار نواری، چگالی حلالات و مکان تعادلی یونها، سهم و نقش یونها خصوصاً اکسیژن در چگالی حالات کل سیستم تعیین گردید. که مؤید رساندنگی بیشتر فاز ارتورومبیک نسبت به تتراترونال ترکیب در حالت نرمال است.

**واژه‌های کلیدی:** ابررساناهاي اکسید مسی با پایه Y، گذار فاز ساختاری، کمبود اکسیژن، فروالاستیسیته، چگالی حالات الکترونی، ساختار نواری

### ۱. مقدمه

می‌تواند سبب انجام گذار ساختاری  $\text{O}-\text{T}-\text{O}$  گردد و به ایجاد مرزهای دوقطبی منجر شود [۳].

در گذار فاز ساختاری  $\text{O}-\text{T}-\text{O}$  تنها دانستن مقدار اکسیژن برای تبیین ماهیت گذار  $\text{O}-\text{T}-\text{O}$  کافی نیست بلکه دانستن دمایی که در آن اکسیژن با بیشترین آهنگ از سیستم خارج می‌شود نیز اهمیت ویژه‌ای دارد و تنها در این صورت، نتایج به دست آمده را می‌توان در مراحل پخت جهت کترل فاز ساختاری اعمال کرد. لذا تحلیل حرارتی گذار فاز  $\text{O}-\text{T}-\text{O}$  ضروری است.

ما در این مقاله با بررسی فازهای ساختاری ترکیب  $\text{O}-\text{T}-\text{O}$ ، به کمک تحلیل حرارتی گذار فاز ساختاری ارتورومبیک - تتراترونال را تحقیق می‌کنیم، که مسلماً تأثیر مستقیمی در روند ساخت این مواد (مراحل پخت) خواهد داشت. به عبارت دیگر

تنوع نتایج در رقابت شکل گیری دو فاز ارتورومبیک  $(\text{O})$  و تتراترونال  $(\text{Orthorhombic})$  در ترکیب  $\text{YBCO}$  که فاز ارتورومبیک آن قابلیت ابررسانا شدن را دارد و در مقابل، فاز تتراترونال آن نمی‌تواند ابررسانا شود، از دیر باز مورد توجه فیزیکدانان و دانشمندان علم مواد بوده است. از عملده مسائلی که دانشمندان روی آن تأکید داشته و تحقیق کرده‌اند، گذار فاز ساختاری بین دو فاز ارتورومبیک و تتراترونال این ترکیب است [۱]. جورج جنسن و همکارانش با استفاده از ND و تعیین در صد احتمال اشغال جایگاههای مختلف اکسیژن نقطه گذار  $\text{O}-\text{T}-\text{O}$  را تعیین نمودند [۲]. از طرف دیگر آکاز و همکاران نشان دادند که تابش الکترون بر روی  $\text{YBCO}$

وزن نمونه اندازه‌گیری می‌شود و از آن می‌توان تغییرات ظرفیت گرمایی ویژه را به دست آورد.

برای محاسبات نوار انرژی و ساختار الکترونیکی از VASP<sup>۱</sup> که یک بسته نرم افزاری پیچیده، برای اجرای دینامیک مولکولی کوانتم مکانیکی به روش ابتدا به ساکن<sup>۲</sup> با استفاده از روش تولید شبه پتانسیل و مجموعه پایه‌ای از امواج تحت است، استفاده کردیم. انرژی کل با استفاده از شرایط مرزی دورهای بسط تابع موج بر حسب مجموعه پایه‌ای از امواج تحت و با استفاده از روش شبه پتانسیل در برهمکنش الکترون-یون محاسبه شد.

برای تعیین کمینه نیروی وارد بر اتمها با تغییر مکان آنها، در هر بار اجرای برنامه و خواندن مقدار نیروهای وارد بر یونها از فایل خروجی که به وسیله محاسبات خودسازگار تعیین می‌شود، می‌توان با ایجاد تغییرات جزئی در مکان اتمها، کمینه نیرو را به دست آورد. در نتیجه مکان تعادلی اتمهای موجود در شبکه تعیین می‌شوند.

### ۳. بحث و بررسی

فرونشانی ابرسانایی در ابرساناهای دمای بالا با کمبود اکسیژن از دیرباز مورد توجه بوده است. یکی از اثراتی که کمبود اکسیژن در ساختار YBCO به دنبال دارد، گذار فاز ساختاری ارتورومبیک-تراگونال O-T است. در فرایند شکل گیری فازهای مختلف YBCO، تشکیل فازها به مقدار و آرایش مختلف اکسیژنهای موجود در نمونه، ۵-۷، دما و شبکه دمایی مراحل ساخت بستگی دارد [۵ و ۶].

با کاهش مقدار اکسیژن در نمونه، استرسها و استرینهای ایجاد شده در سیستم باعث کاهش اکسیژن در زنجیره‌های Cu-O می‌شود به نحوی که احتمال قرار گیری اکسیژن در سامانه (۱) O(۵) و (۵) O(۱) مساوی می‌شود. به عبارت دیگر پارامتر ارتورومبیستی ترکیب کاهش یافته و گذار ساختاری O-T رخ می‌دهد. این گذار می‌تواند در دماهای متفاوتی صورت پذیرد، اما در دمای بحرانی  $T_c$  بیشترین گذار O-T رخ

اهمیت موضوع در به کارگیری نتایج در روند ساخت برای دستیابی به یک نمونه با فاز کترول شده است. علاوه بر آن می‌توان از این رفتار، برای کترول رشد مرزهای دو قلویی ترکیب جهت کاربردهای خاص استفاده نمود که اثرات مرزهای دو قلویی در مراجع [۳ و ۴] به نحو مطلوبی بررسی شده است. از دیدگاه نظری، با محاسبه ساختار نوار انرژی ترکیب ۱۲۳ در فاز ارتورومبیک = ۰ و مقایسه با نتایج تراگونال ۱ = ۵ در حالت نرمال، می‌توان به تغییرات رسانندگی، گاف انرژی، چگالی حالات DOS و از همه مهمتر نقش یون اکسیژن در ایجاد تغییرات در نزدیکی سطح فرمی پرداخت.

### ۲. جزئیات آزمایش

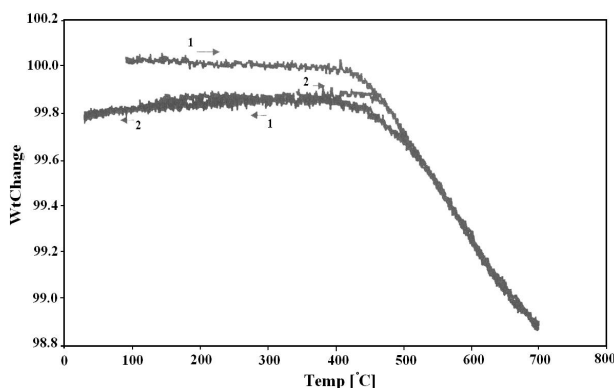
نمونه‌های YBCO با فاز ارتورومبیک غالب با روش استاندارد واکنش حالت جامد ساخته شد. مواد اولیه از پودرهای  $\text{Y}_2\text{O}_۳$ ،  $\text{CuO}$  و  $\text{BaCO}_۳$  با درجه خلوص ۹۹/۹٪ با استکیومتری خاص را با هم مخلوط کرده و پس از دو بار سایش و تکلیس در دمای  $۸۱۴^\circ\text{C}$  تا فشار  $۱۰\text{ T}$  به صورت قرصهایی به قطر  $۱/۱\text{ cm}$  پرس نمودیم. این قرصها در دمای  $۹۳۰^\circ\text{C}$  کلوخه سازی و در مرحله سرد شدن تحت شارش اکسیژن قرار گرفتند. برای جذب اکسیژن بهتر و دستیابی به نمونه تک فاز ارتورومبیک به مدت دو ساعت با شارش دو برابر اکسیژن در دمای  $۶۳۰^\circ\text{C}$  هم‌دما گردید و اکسیژن نمونه با روش یدومتری اندازه‌گیری شد.

در این تحقیق با استفاده از دستگاه تحلیل حرارتی STA-1500 ساخت شرکت Rheometric Scientific که قادر به اندازه گیری ظرفیت گرمایی ویژه Cp به صورت تابعی از دما و تغییرات اکسیژن نمونه به صورت تابعی از دما است، استفاده نمودیم. برای مشاهده گذار فاز O-T از تحلیل حرارتی همزمان STA استفاده کرده که شامل تحلیل همزمان (کالریمتری دیفرانسیلی روبشی) DSC و (گرماآزن سنجدی) TGA است. در تحلیل TGA، وزن نمونه را حین عملیات حرارتی با دقت بالا ( $10^{-۶}\text{ gr}$ ) اندازه‌گیری و در تحلیل کالریمتری دیفرانسیلی روبشی (DSC)، گرمای واکنش بر واحد

۱. Vienna Abinitio Simulation Package

۲. complex package

۳. ab-initio



شکل ۱. تغییرات سرد کردن نمونه با شیوه‌های متفاوت، ۱) شیب  $10^{\circ}\text{C}/\text{min}$  و ۲) شیب  $20^{\circ}\text{C}/\text{min}$

پراش نوترون و اندازه گیری پارامترهای ابررسانایی YBCO ثابت کرده است که دمای گذار ابررسانایی  $T_{\text{C}}$  به وسیله توازن تغییر الکترونیکی بین زنجیره‌های  $\text{CuO}$  و صفحات  $\text{CuO}_2$  تعیین می‌شود و زنجیره‌های  $\text{CuO}$  به عنوان ذخیره کننده‌های بار در تعیین خواص ابررسانایی نقش اصلی را ایفا می‌کنند [۱۲]. خواص ترکیب YBCO به مقدار اکسیژن این ترکیب یعنی  $7 < 8 < 7 < 6$  بستگی دارد [۱۳].

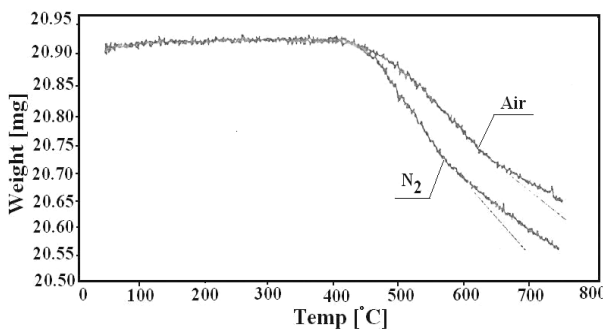
با استفاده از تحلیل TGA تأثیر شیب گرم و سرد کردن نمونه و غلظت اکسیژن محیط ساخت را نیز بررسی کردیم. نمونه از دمای محیط تا  $750^{\circ}\text{C}$  و بر عکس با شیوه‌های حرارتی مختلف هیچ تفاوتی در منحنی و دمای گذار ساختاری  $\text{O}-\text{T}$  ایجاد نکرده و در نتیجه از دست دادن اکسیژن هیچ واپستگی به روش گرم کردن در اتمسفر مشخص ندارد و دو منحنی TGA با یکدیگر هم پوشانی کامل دارند.

نتایج تجربی تحلیل حرارتی نمونه‌ها در سه نمودار شکل‌های ۱، ۲ و ۳ آمده است. در شکل ۲ تغییرات مقدار اکسیژن  $\delta = 7-8$  و ظرفیت گرمای ویژه  $C_p$  بر حسب دما نشان داده شده است، در این شکل مشاهده می‌شود که در دمای  $5^{\circ}\text{C} \pm 630$  تغییر شیبی در منحنی TGA و پرشی در منحنی  $C_p$  وجود دارد که همانند تغییر ظرفیت گرمایی ویژه در گذارهای فاز

می‌دهد که نتیجه استرینهای عظیم ناشی از جابه‌جایی اتمها در یاخته واحد است. گذار فاز ساختاری در مقدار اکسیژن بحرانی ( $\delta = \delta_{\text{C}}$ ) و در دمای بحرانی  $T_{\text{C}}$  مشخصی رخ می‌دهد. با اندازه گیری این دو پارامتر می‌توان به روشنی دست یافت که نمونه‌هایی با میزان فاز کنترل شده را به دست دهد و از اهمیت ویژه‌ای در فرایند ساخت برخوردار است. با توجه به میخکوبی گردابه‌ها در مرزهای دوقلویی، وجود فاز تراگونال در مجاورت فاز ارتورومبیک سبب افزایش  $T_{\text{C}}$  نمونه می‌گردد. لذا عملکردهای ترا بردنی نمونه‌های بهینه شده می‌تواند نمونه‌های ابررسانا با قابلیت حمل جریان بالا را معرفی کند [۷].

در فرآیند حرارتی ساخت، ابتدا ترکیب YBCO در دماهای بالا به صورت تراگونال بلوری می‌شود، اما در حین سرد شدن در اتمسفر اکسیژن با جذب اکسیژن و نظم یافتن آنها دارای ساختار ارتورومبیک می‌شود [۵]. از طرفی اثر کمبود اکسیژن در ترکیب با فاز ارتورومبیک، هنگامی که اکسیژن از زنجیره برداشته می‌شود، اتمهای موجود در لایه  $\text{BaO}$  نسبت به زنجیره و صفحات  $\text{CuO}_2$  جای‌جا می‌گردد [۸ و ۹] اکسیژنهای  $\text{O}^{(4)}$  به طرف زنجیره‌ها کشیده و اتمهای  $\text{Ba}$  به طرف صفحات  $\text{CuO}_2$  می‌روند. این دو جابه‌جایی به طور همزمان رخ می‌دهد و باعث کشیده شدن محور  $c$  می‌گردد. در نتیجه  $c$  و حجم یاخته واحد افزایش می‌یابد. به عبارت دیگر تشاهی ایجاد شده در سیستم، به دلیل تغییر مکان اکسیژنهای، گذار فاز ساختاری اورتورو مبیک - تراگونال را سبب می‌شود. این گذار در دماهای متفاوتی می‌تواند صورت پذیرد، اما دمایی که تغییر ساختار از تراگونال به اورتورو مبیک شدت بیشتری دارد به معنای این است که استرس کوچکی در سیستم سبب ایجاد استرین عظیمی در آن گردیده است. لذا گذار فاز تراگونال - ارتورومبیک در حوزه بررسی فرالاستیستیکه این ترکیب جای می‌گیرد [۱۰ و ۱۱] و به طور کلی اهمیت مسئله در چگونگی تغییر مقدار اکسیژن نمونه و اثرات ثانویه آن، از جمله تغییر مکان  $\text{O}^{(4)}$  و تغییر چگالی حفره‌ها در صفحات  $\text{CuO}_2$  است.

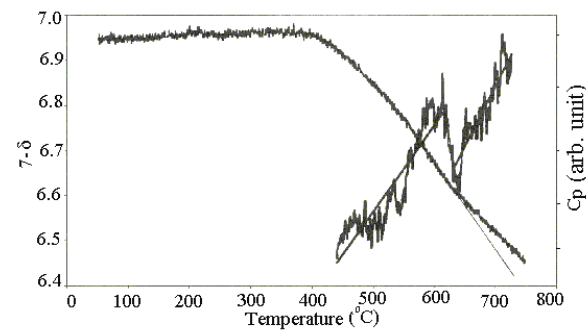
#### ۱.Oxygen Deficiency



شکل ۳. گرم کردن نمونه با شیب حرارتی یکسان در اتمسفر هوا و نیتروژن.

کمتری جذب کرده و  $7 - \delta$  کوچکتر می‌شود، دمای گذار ابررسانایی نیز کاهش می‌یابد (شکل ۳). بنابراین صرفنظر از چگونگی عملیات حرارتی و غلظت اکسیژن محیط، گذار O-T همیشه در یک مقدار خاص اکسیژن، یعنی  $\delta = 6/6$  روی می‌دهد و هیچ وابستگی به شرایط خارجی ندارد که این نتیجه در توافق کامل با کار دیگران [۵] است. برای دستیابی به توصیفی جامع تر، محاسبات نوار انرژی را برای ساختار ارتورومبیک YBCO<sub>7</sub> (YBa<sub>2</sub>Cu<sub>3</sub>O<sub>7</sub>) انجام داده و به کمک این محاسبات سهم یونهای اکسیژن و مس در چگالی حالات ترکیب نیز تعیین گردید که با محاسبات تمرمن [۱۵] برای YBCO<sub>6</sub> و YBCO<sub>5</sub> مقایسه شده‌اند.

در محاسبات، ثابت‌های شبکه را با استفاده از داده‌های تجربی در مسورد ترکیب YBCO<sub>7</sub> :  $a = 3/82$ ,  $b = 3/88$ ,  $c = 11/69$  Å با حجم  $174/1$  Å<sup>۳</sup> انتخاب کردیم [۱۶]. شبه پتانسیلهای اتمی برای Y, O, Cu, Ba, از فایلهای از پیش محاسبه شده موجود در VASP استفاده شد، انرژی قطع k-point = 51 و تعداد eV = 600. مقدار گذار فاز از داده‌های ناشر از خطای Warp (خطای ناشی از تبدیل فوریه FFT در حین محاسبات) به ترتیب ۳۶, ۱۰۸ و ۳۶ انتخاب شده است. مقادیر مختصه مکانی z تعادلی شده هریک از یونها به همراه نیروهای تعادلی شده آنها توسط نرم‌افزار VASP محاسبه شده که



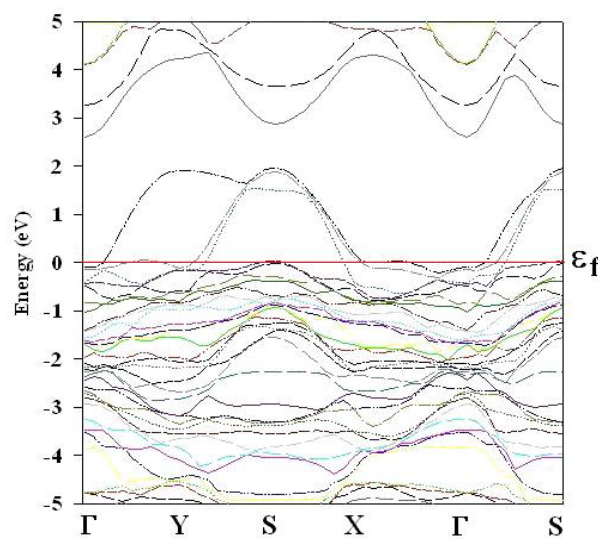
شکل ۲. تغییرات مقدار اکسیژن و  $C_p$  بر حسب دما.

مرتبه دوم همچون گذار فاز ابررسانا- نرمال است [۱۴]. از طرفی دیگر این گذار در مقدار اکسیژن  $\delta = 6/6$  روی می‌دهد که از نظم یافتن اکسیژنها در زنجیره‌ها ناشی می‌شود و تغییر شیب منحنی TGA در این نقطه تغییر انرژی پیوند اکسیژنها با کاهش اکسیژن نمونه در هنگام گذار O-T را بیان می‌کند. علاوه بر این، شکل ۱ برگشت پذیری گذار در نقطه تغییر شیب را ارائه می‌دهد. بنابراین گذار O-T یک گذار فاز مرتبه دوم از نوع نظم - بی نظمی است. علاوه بر این مختصات نقطه گذار یعنی دمای گذار  $\delta = 6/6$  و  $\delta = 3/82$  در هنگام مقدار اکسیژن در نقطه گذار  $\delta = 6/6$  در سرد کردن نمونه از دمای ۷۵۰ °C تا دمای محیط با شبیهای حرارتی متفاوت  $20$  °C/min و  $10$  °C/min تغییر نمی‌کند، اما در دماهای کمتر از دمای گذار O-T هرچه شیب سرد کردن بیشتر باشد، نمونه اکسیژن کمتری جذب می‌کند (شکل ۱)، بنابراین آهسته سرد کردن نمونه در حضور اکسیژن باعث جذب اکسیژن بیشتر در نمونه می‌شود، در حالی که اگر شیب سرد کردن آنقدر زیاد باشد که نمونه فرست کافی برای جذب اکسیژن را نداشته باشد ممکن است وجود فاز تراگونال در نمونه در دمای اتاق را نتیجه دهد.

جهت بررسی تأثیر غلظت اکسیژن محیط بر دمای گذار فاز ساختاری، تحلیل حرارتی TGA با شیب حرارتی یکسان در اتمسفر هوا و نیتروژن نشان داد که در اتمسفر نیتروژن چون غلظت اکسیژن بسیار کم است نمونه اکسیژن بیشتری از دست می‌دهد و هرچه غلظت اکسیژن محیط کمتر باشد، نمونه اکسیژن

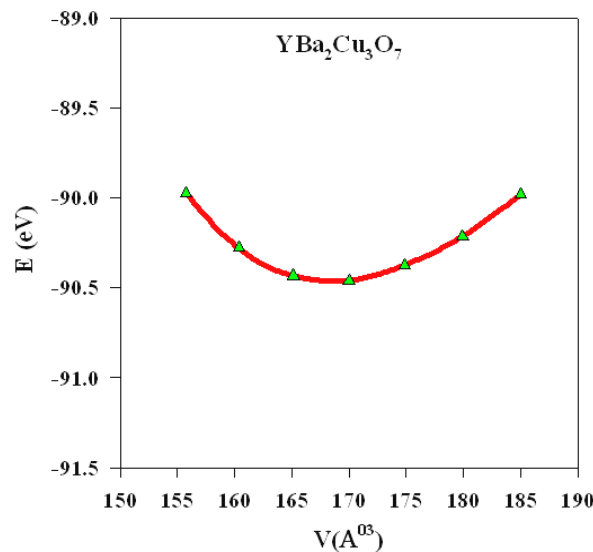
جدول ۱. مختصه Z تعادلی و نیروی حاصل برای هر یون در ساختارهای YBCO<sub>7</sub>.

	Element	Y	Ba	Cu(۱)	Cu(۲)	O(۱)	O(۲)	O(۳)	O(۴)
YBCO <sub>7</sub>	موقع (Å)	۰/۴۹۹۵	۰/۱۸۴۰	۰/۰۰۰۰	۰/۳۵۵۵	۰/۰۰۰۰	۰/۳۷۷۰	۰/۳۷۸۱	۰/۱۵۸۰
	نیروی کل (eV/Å)	۰/۰۰۲۰	۰/۰۲۳۰	۰/۰۴۰۸	-۰/۰۹۰۲	۰/۰۰۷۶	-۰/۰۰۲۳	-۰/۰۹۱۶	-۰/۰۶۵۱

شکل ۵. ساختار نوار انرژی YBCO<sub>7</sub> در نزدیکی انرژی فرمی.

مقدار  $c_{eq}$  را نتیجه خواهد داد. مقادیر نهایی برای YBCO<sub>7</sub>,  $a = ۳/۷۹$ ,  $b = ۳/۸۵$  و  $c = ۱۱/۶۰$  به دست آمد.

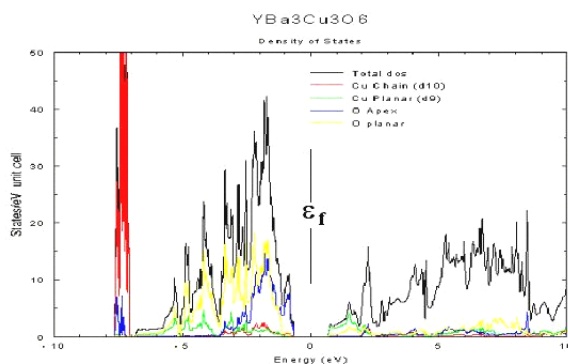
ساختار نوار انرژی در راستای  $\Gamma$ -X-S-Y- $\Gamma$ -S در اولین منطقه بریلوئن برای YBCO<sub>7</sub> محاسبه و نتایج به دست آمده در شکل ۵ رسم شده‌اند. که نشان می‌دهد نوارهای طرفی مربوط به اوریتالهای Cu(۲p) و O(۲p) در نقطه  $\Gamma$  مرکز منطقه اول کاهش ناپذیر بریلوئن دارای کمترین پهنا و در نقطه S گوشه منطقه اول بیشترین پهنا را دارند. این مطلب نشان می‌دهد که در نقطه S برهمنکش این نوارها زیاد بوده، در حالی که در نقطه  $\Gamma$  برهمنکش تقریباً ضعیف است. شکل ۵ نشان می‌دهد که نوارهای طرفی در مسیرهای X-S,  $\Gamma$ -S و Y- $\Gamma$ -X دارای پراکندگی زیادی می‌باشد و در این ترکیب ۴ نوار که مربوط به صفحات CuO<sub>۲</sub> و CuO می‌باشند، سطح فرمی را قطع می‌کنند که در مقایسه با محاسبات

شکل ۶. منحنی انرژی کل بر حسب حجم سلول واحد اولیه YBCO<sub>7</sub>.

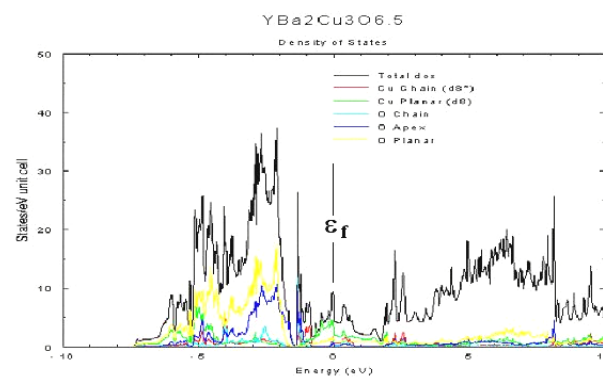
حاصل آن در جدول شماره ۱ آمده است. برای تعیین ثابت‌های شبکه تعادلی، نمودار انرژی کل بر حسب تغییرات حجم را در شکل ۶ رسم کرده و با معادله مورنگان برآرزنده دادیم (معادله (۱)).

$$E(V) = E_0 + \left\{ B_p V \left( B_p \left( 1 - \frac{V}{V_0} \right) + \frac{V}{V_0} \right)^{B_p} - 1 \right\} / \left\{ B_p \left( B_p - 1 \right) \right\}. \quad (1)$$

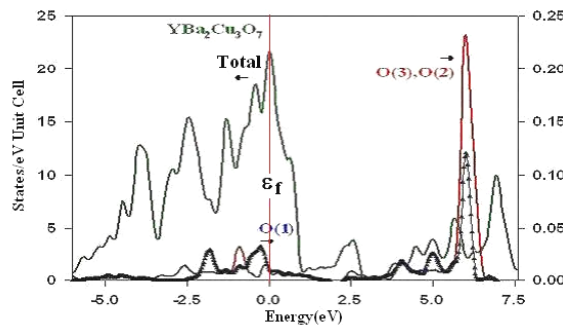
در این معادله  $V$ : حجم سلول واحد تعادلی،  $E$ : انرژی کل متناظر با  $V$ ,  $B$ : مدول یانگ و  $B_p$ : مشتق  $B$  نسبت به فشار است. و از آنجا کمیت  $V$ : حجم سلول واحد تعادلی را به دست آورديم. با استفاده از  $V_{eq} = V_0$  می‌توان پارامترهای شبکه‌ای مربوط به حالت تعادل را به دست آورد. برای بهینه کردن مقدار پارامتر شبکه  $a$ ,  $b$  و  $c$  را ثابت می‌گیریم و به ازای  $a$  های مختلف نمودار  $E-a$  را رسم کرده و  $a_{eq}$  به دست می‌آید. سپس در این  $a_{eq}$  و  $c$  ثابت نمودار  $E-b$  را رسم می‌کنیم و  $b_{eq}$  به دست خواهد آمد، سپس در  $a_{eq}$  و  $b_{eq}$  نمودار



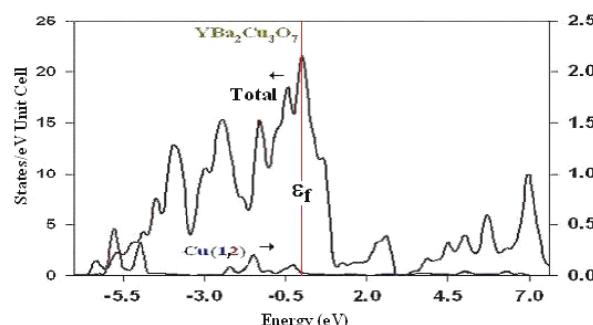
شکل ۷. چگالی حالات کل و سهم چگالی حالات برای یونهای اکسیژن و مس در ترکیب  $\text{YBCO}_6$  [۱۵].



شکل ۶. چگالی حالات کل و سهم چگالی حالات برای یونهای اکسیژن و مس در ترکیب  $\text{YBCO}_6/5$  [۱۵].



شکل ۹. چگالی حالات کل و سهم چگالی حالات برای یونهای اکسیژن در ترکیب  $\text{YBCO}_7$ .



شکل ۸. چگالی حالات کل و سهم چگالی حالات برای یونهای مس در ترکیب  $\text{YBCO}_7$ .

در رسانش صفحه  $\text{CuO}_2$  سهم مهمی دارند. نتایج به دست آمده همخوانی خوبی با کارهای دیگران دارد [۱۷ و ۱۸]. این جفت نوار تقریباً واگن، با پراکندگی حدود ۲eV در وجود نوار نیمه پر ضد پیوندی  $\text{Pd}\sigma$ ، سطح فرمی ترکیب را  $\text{CuO}$  توصیف می‌کنند. دو نوار دیگر، مربوط به زنجیره‌های  $\text{CuO}_2$  هستند.

چگالی حالات الکترونی نیز برای نوارهای انرژی محاسبه و در شکل‌های ۶، ۷، ۸ و ۹ آورده شده است. سطح زیر منحنی توزیع چگالی حالات تا انرژی فرمی برابر کل حالت‌های الکترونی در سلول واحد می‌باشد که بدین وسیله انرژی فرمی محاسبه و تعیین شده است.

چگالی حالات محاسبه شده توسط نرم افزار VASP برای

دیگران که به روش‌های متفاوتی از جمله LSD [۱۷] و SIC-LSD [۱۵] انجام شده است، قابل قبول می‌باشد. لازم به ذکر است که در ترکیب  $\text{YBCO}_7$  اتم مس دارای عدد اکسیداسیونی میانگین  $2/33$  بوده و متناظر با یک یون  $\text{Cu}^{+2}$  دو یون  $\text{Cu}^{+2}$  است در روش SIC-LSD به تغییر ظرفیت  $\text{Cu}$  در ساختار توجه شده و در محاسبات دخالت داده شده است. تمدن و همکاران توانسته‌اند منحنی چگالی حالات صحیحی را برای ترکیب  $\text{YBCO}_6$  و  $\text{YBCO}_6/5$  به دست آورد که نرم افزار VASP به کمک LSD قادر به انجام آن نیست. دو صفحه  $\text{CuO}_2$  در ترکیب  $\text{YBCO}_7$  که به صورت ضعیفی از نظر الکترونی به هم جفت شده‌اند، یک جفت نوار  $\text{Pd}\sigma$  را به وجود می‌آورند که سطح فرمی را نیز قطع می‌کند و

## جدول ۲. چگالی حالات نسبی الکترونی اتمهای مس و اکسیژن صفحات و زنجیره.

نمونه	Cu(۱)	Cu(۲)	O(۱)	O(۲،۳)
YBa <sub>x</sub> Cu <sub>y</sub> O <sub>7.5</sub>	۰/۲۲	۰/۴۰	۰/۱۸	۰/۲۲
YBa <sub>x</sub> Cu <sub>y</sub> O <sub>7</sub> (۱۰⁻¹)	۳۶	۳۶	۴/۵	۹/۰

چگالی حالات کل و چگالی حالات جزئی اتمهای Cu(۱) و Cu(۲) حاصل از محاسبات برای ترکیب YBCO<sub>7</sub> در شکل ۸ ارائه شده‌اند و نشان می‌دهد که اولاً سهم یونهای Cu(۱) و Cu(۲) در چگالی حالات کل در نزدیکی سطح فرمی بسیار کم است، به عبارتی تأثیر این دو یون در رسانندگی در حالت نرمال ترکیب YBCO<sub>7</sub> بسیار ناچیز است و ثانیاً سهم این دو یون با تقریب بسیار خوبی با یکدیگر مساوی است. شکل ۹ سهم چگالی حالات محاسبه شده (۱) O<sub>۱</sub>، (۲) O<sub>۲</sub> و (۳) O<sub>۳</sub> را در چگالی حالات کل ارائه می‌دهد. همان طور که شکل نشان می‌دهد سهم یون (۱) O<sub>۱</sub> در مقایسه با یونهای (۲) O<sub>۲</sub> و (۳) O<sub>۳</sub> در نزدیکی سطح فرمی بیشتر است و حکایت از تأثیر بیشتر یون (۱) O<sub>۱</sub> در رسانندگی ترکیب YBCO<sub>7</sub> در حالت نرمال دارد و کاهش رسانندگی را با کاهش یون اکسیژن زنجیره‌ها توجیه می‌نماید، به عبارتی کمبود اکسیژن از زنجیره‌های ترکیب شروع می‌شود که افزایش مقاومت ویژه را به دنبال دارد. نقش عملده باریم و ایتریم ثابت نگه داشتن ساختار بلور با هر تعداد از اتمهای اکسیژن و مس می‌باشد. چگالی حالات اشغال شده در انرژی فرمی بترای ترکیب YBCO<sub>7</sub>:  
 $YBCO_6/5 = 19/39 (\text{States/eVUnitCell})$ , برای  
 $YBCO_6 = 10 (\text{States/eVUnitCell})$  و برای مقدار صفر را دارد.

### ۴. نتیجه‌گیری

اهمیت دستیابی به نمونه با فاز غالب و یا کترول تشکیل فاز در سیستم ۱۲۳ از عملده مسائلی است که بررسی اثر کمبود اکسیژن در ساختار ۱۲۳ را به دنبال دارد. تغییر ساختار آرایش ارتورومبیک به تراگونال با تغییر مکان یونها و جابه‌جایی چگالی حاملین همراه است. استرسها و استرینهای ناشی از

ترکیب YBCO<sub>7</sub> در شکل‌های ۸ و ۹ و چگالی حالات محاسبه شده توسط تمرمن و همکارانش در شکلهای ۶ و ۷ برای ترکیب‌های YBCO<sub>6</sub> و YBCO<sub>6/5</sub> ارائه شده است. در این شکلهای سهم اکترونی (d) Cu(d) و (p) O در محدوده انرژی فرمی آورده شده است.

در جدول ۲ سهم (۱) O<sub>۱</sub> و (۲) O<sub>۲</sub> و (۳) O<sub>۳</sub> در چگالی حالات کل ترکیب‌های YBCO<sub>6/5</sub> و YBCO<sub>7</sub> آورده شده است. آزمایش‌های هال رسانندگی حفره‌ای ابررسانه‌ای دمای بالا، خصوصاً ترکیبات مورد نظر را به اثبات رسانده‌اند [۱۹] و داده‌های جدول ۲ نشان می‌دهند که در طی گذار O-T (YBCO<sub>6/5</sub> → YBCO<sub>7</sub>)، چگالی حالات الکترونی جزئی اتمهای اکسیژن و مس کاهش می‌یابد. بدین معنی که چگالی حفره‌های قابل دسترس رسانشی افزایش می‌یابد. نقش و رفتار اتمهای اکسیژن در ترکیب ۲۱۴ نیز چنین است [۲۰]. همچنان که انتظار داریم و نتایج جدول ۲ نیز ارائه می‌دهند اتمهای اکسیژن و مس هر دو در گذار O-T مؤثرند و نقش ایفا می‌کنند و هردو در تغییر چگالی حالات الکترونی در سطح فرمی تأثیر می‌گذارند.

مقادیر جزئی چگالی حالات برای اتمهای (۱) O<sub>۱</sub> در شکلهای ۸ و ۹ برای ساختارهای YBCO<sub>6/5</sub> و YBCO<sub>7</sub> نشان می‌دهد که در طی گذار بیشترین مقدار مربوط به (۱) O<sub>۱</sub> در انجام گذار O-T را می‌رساند و از طرفی از بررسی چگالی حالات کل که در مورد سه ترکیب YBCO<sub>6</sub> و YBCO<sub>6/5</sub> و YBCO<sub>7</sub> در شکلهای ۶، ۷، ۸ و ۹ رسم شده است، روند رسانا شدن ترکیب YBCO<sub>7</sub> کاملاً مشهود است. گاف انرژی در YBCO<sub>6</sub> تقریباً ۱۶V و در YBCO<sub>6/5</sub> و YBCO<sub>7</sub> این گاف انرژی تقریباً حذف گردیده است.

و نقش یونها خصوصاً اکسیژن را در چگالی حالات کل و رفتار الکترونیکی سیستم نشان می‌دهد. نقش و اثرات الکترونهاي P اکسیژن (۱) O در ترکیب YBCO<sub>۷</sub> بیشتر از اکسیژنهای (۳) O و (۳) O است و نقش الکترونهاي d، (۱) Cu و (۲) Cu یکسان است.

### قدرتانی

از آقایان J.Furlhmuller و G.Kresse نویسندهان VASP و همکریهای آقای حسین خسروآبادی تشکر می‌نماییم. همچنین از حمایتهای معاونت محترم پژوهشی دانشگاه الزهرا(س) سپاسگزاریم.

خروج اکسیژن از ساختار سبب تغییر خواص الکترونیکی سیستم می‌شود که چگالی حالات محاسبه شده (شکلهای ۶، ۷، ۸ و ۹) تفاوت رفتارهای الکترونیکی سیستم را به وضوح نشان می‌دهد. تحلیل حرارتی سیستم، بهینه مقادیر دمای گذار ساختاری O-T،  $T_c = 630 \pm 5^\circ\text{C}$  و اکسیژن نمونه ۷- $\delta_{\text{C}} = 6/6$  را به دست می‌دهد. این مقادیر با نتایج تجربی و کار دیگران [۵] مطابقت دارد.

از طرفی دیگر محاسبات ساختار نواری ترکیبات چگالی حالات را در صفحات CuO<sub>۶</sub> به دست می‌دهد که موید رسانایی ترکیب YBCO<sub>۷</sub> نسبت به YBCO<sub>۶/۵</sub> در حالت نرمال آن است. چگالی حالات جزئی نیز اهمیت سهم

### مراجع

13. I Nakai and K Imai, *Jpn. App. Phys.* **26** (1987) L1703.
14. M Safari, A S Hosaini, V Daadmehr and A Nabipour, "Proceeding of 8<sup>th</sup> Iranian Conference of Crystallography and Mineralogy", (1380) 298.
15. W M Temmerman et. al., *Phys. Rev. Lett.* **86** ( 2001) 2435.
16. B Szpunar and V H Smith, *Phys. Rev. B* **37** (1988) 7525.
17. L F Mattheiss and D R Hamann, *Solid State Commun.* **63** (1987) 395.
18. W M Temmerman, Z Szote, P J Durhem and G M Stocks, *J. Phys. F* **17** (1987) L319.
19. V Daadmehr, H Naghshara and M Akhavan, " Proceeding of 4<sup>th</sup> Iranian Conference of Cond-matt", (1376) 19.
20. D M Ginsberg, "Physical Properties of High Temperature Superconductors", Vol.1 (world Scientific, 1989).
1. J Zhang ,Y Cui, D Deng, Z Chen, X Li, G Cheng, *Phys. Letters A* **263** (1999) 452-457.
2. J D Jorgensen, et al., *Physica* **153-155 C** (1988) 578.
3. Z Akase, Y Tomokiyo and M Watanabe, *Journal of microscopy*, **203** (2001) 2-11.
4. J D Jorgensen, et al., *Phys. Rev. B* **36** (1987) 5731.
5. J D Jorgensen, et al., *Phys. Rev. B* **41** (1990) 1863.
6. S Jin, "Processing and Properties of High T<sub>c</sub> Superconductors bulk materials ", Vol.1 (world Scientific, 1993)
7. C U Seger, et al., *Nature* **329** (1987) 227.
8. P F Miceli, et al., *Phys. Rev. B* **37** (1988) 5932.
9. W E Picket, *Physica C* **51** (1997) 289.
10. R de Batist," Internal Friction of Structural Defects in Crystalline Solids" ,(North-Holland, Amsterdam, Niederlande, 1972).
11. A S Nowick and B S Berry, "Anelastic Relaxation in Solids" (Academic Press, New York, U.S.A, 1972).
12. J K Burdett, "Chemical Bonding Solids," Oxford University Press (1995).